

УДК 539.94+547.571.9

Ю.Я. ЕФИМОВ

АСИММЕТРИЯ МОЛЕКУЛ  $H_2O$  В ЖИДКОЙ ФАЗЕ И ЕЕ СЛЕДСТВИЯ

На основе экспериментальных данных по нейтронографии и колебательной спектроскопии уточнены корреляции между геометрическими параметрами водородного мостика  $O-H...O$  и с частотой валентных колебаний  $v_{OH}$ . Из спектров комбинационного рассеяния HOD рассчитаны функции распределения межатомных  $r_{OH}$  и межмолекулярных расстояний  $R_{O...O}$  в воде в интервале от  $-40$  до  $100$  °C. Проанализирована степень асимметрии молекул  $H_2O$  в жидким состоянии, вызванная флюктуациями локального окружения двух групп OH, и ее проявления в структуре и колебательных спектрах воды.

В последние годы роль асимметрии молекул и оценка ее меры стали предметом внимания многих исследователей (см., например, [1, 2] и ссылки там). Разумеется, в терминах хиральности свободная молекула воды не является диссимметричной, поскольку существует плоскость, зеркальное отражение молекулы в которой эквивалентно оригиналу. Нередкие утверждения о том, что "молекула воды чрезвычайно асимметрична" [3], как правило, подразумевают наличие дипольного момента и анизотропию потенциальной поверхности межмолекулярных взаимодействий. Геометрия самой молекулы при этом практически во всех работах считается симметричной в смысле ее принадлежности к точечной группе симметрии  $C_{2v}$ . Однако в жидкости, в отличие от газа или протонно-упорядоченного кристалла льда, это не так. Причина заключается в том, что молекулы  $H_2O$  в жидкости вовлечены в сетку водородных связей различной геометрии с энергиями, распределенными в диапазоне от 0 до  $-23$  кДж/моль [4]. При этом две группы OH одной молекулы, как правило, возмущены H-связями разной силы, что приводит к нарушению зеркальной симметрии ее равновесной конфигурации. Мерой максимально возможного различия двух групп OH может служить разность их частот, превышающая  $600\text{ cm}^{-1}$  (полная ширина статистического распределения частот  $v_{OH}$  молекул HOD, изотопно-разбавленных в  $D_2O$ ), что составляет около  $1/5$  среднего значения самой величины  $v_{OH}$ .

Первыми, по-видимому, обратили внимание на асимметричность большинства молекул воды в жидкости Шиффер и Хорниг [5], которые, однако, ошиблись при численных оценках ее степени. В [6] был проведен расчет параметров "среднестатистической" молекулы воды на основе представления статистического распределения их частот  $P(v_{OH})$  гауссовым контуром. Среднестатистическая молекула оказалась весьма асимметричной, хотя и в меньшей мере, чем оценивали в [5]. Однако реальные распределения валентных частот далеко не гауссова, более того, бимодальны [7]. Задача их численного нахождения из колебательных спектров была решена только недавно [7, 8] в широком интервале температур.

Целью настоящей работы является использование найденных статистических контуров  $P(v_{OH}, T)$  для вычисления не только усредненных характеристик молекул в жидкости, но и функций их распределения, в том числе и по степени асимметрии

(различию параметров двух групп OH). Таким образом, две водородные связи, образуемые молекулой H<sub>2</sub>O в качестве донора протона, впервые будут рассмотрены совместно. С помощью эмпирических корреляций между спектральными и геометрическими параметрами водородной связи из этих же статистических контуров будут вычислены функции распределения межатомных  $r_{\text{OH}}$  и межмолекулярных расстояний  $R_{\text{O...O}}$ . Для выяснения спектроскопических последствий утраты молекулами H<sub>2</sub>O симметрии  $C_{2v}$  будет проведен расчет спектров ИК поглощения и комбинационного рассеяния среднестатистической молекулы с учетом связи колебаний ее OH-осцилляторов друг с другом и с деформационным обертоном (резонанс Ферми).

### 1. ЧАСТОТНОЕ РАСПРЕДЕЛЕНИЕ ОН-КОЛЕБАНИЙ В СТАТИСТИЧЕСКОМ АНСАМБЛЕ МОЛЕКУЛ ВОДЫ

Согласно флюктуационной концепции водородной связи [4, 6, 9—11] широкие полосы в спектре OH-колебаний воды отражают присущее жидкости статистическое распределение равновесных конфигураций водородного мостика O—H...O, порожденное флюктуациями локального окружения различных молекул H<sub>2</sub>O. Чем сильнее конкретная H-связь, тем больше низкочастотный сдвиг максимума собственной (довольно узкой) линии поглощения вовлеченного в нее OH-осциллятора относительно частоты колебаний  $v_u$  свободной группы OH [12]. Таким образом, полоса валентных колебаний в ИК- или КР-спектре HOD (где связь OH-колебаний отсутствует) отражает энергетическое и геометрическое распределение в ансамбле по-разному возмущенных средой молекул воды.

Вычислению статистического распределения частот из экспериментальных спектров КР было посвящено специальное исследование [7]. В качестве  $P(v_{\text{OH}})$  для 10, 50 и 90 °C мы здесь используем результаты этой работы. Экстраполяцию в область отрицательных температур (переохлажденная вода) и вычисление статистических контуров для промежуточных температур проводили по алгоритму Жуковского [9], справедливость применения которого установлена по крайней мере до 200 °C [4, 10].

На рис. 1 изображено бинарное распределение собственных частот OH-осцилляторов в молекулах воды  $P(x, y)$  при двух температурах. Оно определяет вероятность встретить в жидкости молекулу, у которой  $v_{\text{OH}}^{(1)} = x$  и  $v_{\text{OH}}^{(2)} = y$ . При независимости флюктуаций локальных окружений двух гидроксильных групп одной молекулы  $P(x, y) = P(x)P(y)$ , причем как  $P(x)$ , так и  $P(y)$  представлены одним и тем же распределением  $P(v_{\text{OH}}, T)$ .

В отличие от спектра бинарное распределение может быть использовано для оценки свойств не только одной группы OH (или одной H-связи), но и средней нагрузки различных молекул воды, а также их асимметрии. Для этого прежде всего представим его в более удобных для данной цели координатах  $v = (x + y)/2$  и  $u = (x - y)/2$ :

$$P(v, u) = P(x(v, u), y(v, u))|\partial(x, y)/\partial(v, u)|. \quad (1)$$

Здесь  $v$  отражает среднюю силу двух H-связей, в которые данная молекула вовлечена как донор протонов, а  $|u|$  — асимметрию ее нагрузки.

Чтобы найти вероятность встретить в жидкости молекулу со средней частотой колебаний ее OH-групп  $v = (x + y)/2$  безотносительно разницы этих частот, проведем интегрирование выражения (1) по  $u$  при фиксированном значении  $v$  (рис. 2, a). Как и исходные колебательные спектры [7], эти распределения  $P(v, T)$  с ростом температуры монотонно сдвигаются к высоким частотам, однако в отличие от них не имеют даже тенденции к бимодальности. Таким образом, хотя оба распределения энергий водородных связей  $P(E_1)$  и  $P(E_2)$  бимодальны, распределение

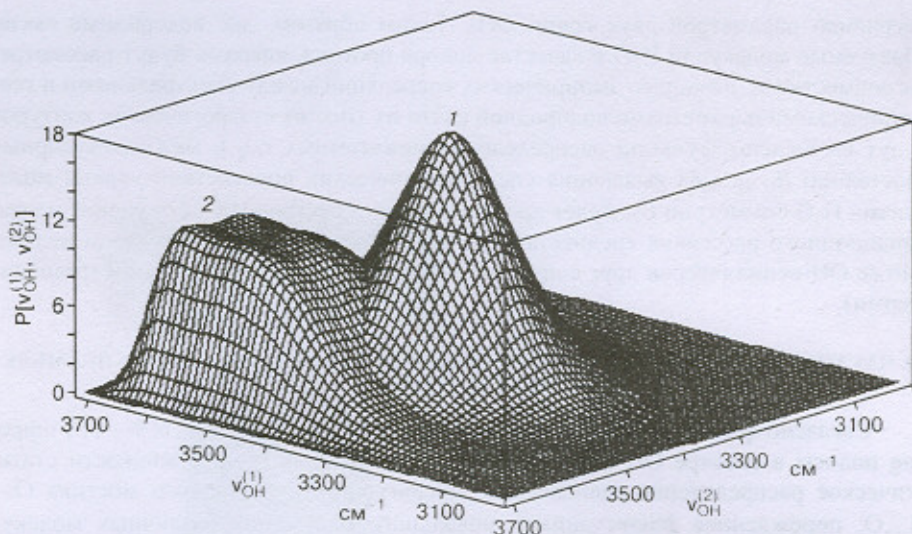
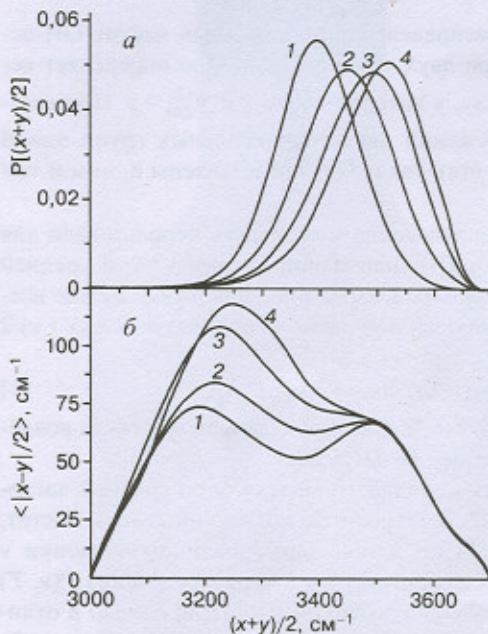


Рис. 1. Парная функция распределения собственных (парциальных) частот колебаний двух гидроксильных групп в молекулах жидкой воды при  $-40^{\circ}\text{C}$  (поверхность 1) и  $90^{\circ}\text{C}$  (поверхность 2), вычисленная из спектров изотропной составляющей КР разбавленного раствора молекул HOD в  $\text{D}_2\text{O}$  [25] по алгоритму [7, 8]. Бимодальность поверхности 1 скрыта перекрыванием с поверхностью 2

ние средней энергии двух H-связей, приходящейся на молекулу, гауссоподобно. Кроме того, с изменением температуры нет и намека на изосбестическую точку. Это, на наш взгляд, лишает оснований попытки интерпретировать температурную зависимость спектров в терминах перераспределения между двумя "сортами" молекул воды, дискретно различающихся энергией H-связей, приходящейся на молекулу.

Если по-прежнему проинтегрировать выражение (1) по  $\nu$  при фиксированном значении  $\mu$ , но предварительно умножив его на модуль  $\mu$ , получим среднюю асим-



метрию молекул воды как функцию средней нагрузки (усредненной силы двух ее водородных связей). Рис. 2 демонстрирует, что большинство молекул при всех температурах имеют среднюю разность двух собственных частот  $|v_{\text{OH}}^{(1)} - v_{\text{OH}}^{(2)}|$  в весьма узком диапазоне от 50 до 150  $\text{cm}^{-1}$ . Наиболее асимметричные молекулы

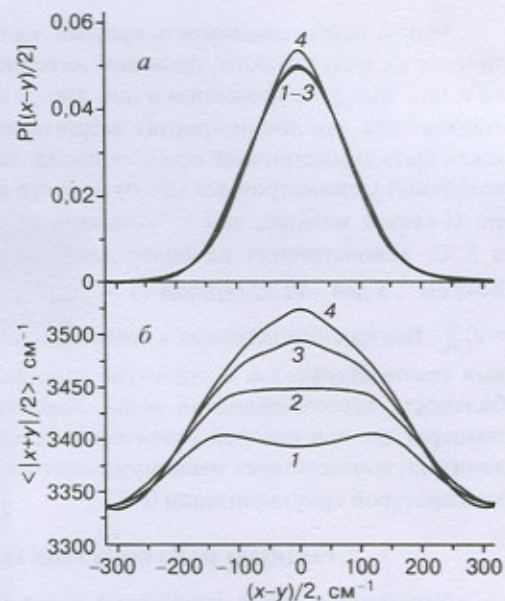
Рис. 2. Кривые вероятности встретить в жидкости молекулу с заданной полу-суммой частот колебаний ее гидроксильных групп (мера средней энергии двух H-связей, образуемых молекулой  $\text{H}_2\text{O}$  в качестве донора протона) независимо от разности этих частот (а) и зависимости асимметрии нагрузки молекулы воды (модуль полуразности частот двух OH-групп) от ее средней нагрузки (б).  $T, ^{\circ}\text{C}: -40 (1), +10 (2), +50 (3), +90 (4)$

Рис. 3. Кривые вероятности встретить в жидкости молекулу с заданной асимметрией нагрузки безотносительно к ее средней величине (средней энергии двух H-связей) (а) и кривые средней нагрузки молекулы H<sub>2</sub>O (мера силы двух H-связей) как функция асимметрии нагрузки (б). Кривые 1—4: температура от -40 до +90 °C, см. рис. 2

с  $|v_{OH}^{(1)} - v_{OH}^{(2)}| > 200 \text{ см}^{-1}$  возникают только при высоких температурах (кривые 3 и 4), причем их крайне мало (см. рис. 2, а). Несколько удивляет низкая средняя частота ( $v_{OH}^{(1)} + v_{OH}^{(2)} / 2$ ) таких молекул, практически совпадающая с частотой OH-колебаний во льду. Ввиду большой асимметрии это означает, что одна из двух групп OH в жидкости образует H-связи более сильные, чем во льду. В переохлажденной воде (кривая 1 на рис. 2, б) уже обе H-связи молекул, имеющих  $v = \langle v_{OH} \rangle \approx 3190 \text{ см}^{-1}$ , могут превышать по силе таковые во льду. Скорее всего, такая ситуация реализуется в немногочисленных микрообластиах жидкости, где молекула оказывается в более плотном контакте с партнерами по водородной связи, чем в кристалле.

Максимум распределения  $P(v)$  при высоких температурах находится вблизи  $3500 \text{ см}^{-1}$  (см. рис. 2, а), а средняя асимметрия молекул с такой нагрузкой составляет около  $140 \text{ см}^{-1}$  (см. рис. 2, б). Это дает  $v_{OH}^{(1)} = 3430 \text{ см}^{-1}$ ,  $v_{OH}^{(2)} = 3570 \text{ см}^{-1}$ , что соответствует одной "нормальной" для воды водородной связи и одной слабой. Интересно отметить, что для частот выше  $3500 \text{ см}^{-1}$  все кривые на рис. 2, б совпадают. Это означает, что окружение молекул с полусуммой частот большей  $3500 \text{ см}^{-1}$  не меняется. С ростом температуры растет лишь их доля. Напротив, доля молекул с полусуммой частот меньшей  $3430 \text{ см}^{-1}$  (умеренно сильные водородные связи) с ростом  $T$  уменьшается, но при этом асимметрия растет. Простейшей моделью, описывающей такое поведение, были бы "тающие" льдоподобные островки с монотонно уменьшающейся степенью тетраэдричности окружения молекул. Окружающая их среда характеризуется тем, что, хотя с ростом температуры доля образующих ее молекул монотонно растет, асимметрия (т.е. структура "клетки") остается неизменной.

До сих пор мы рассматривали среднюю асимметрию молекул  $\langle u \rangle$  при различных фиксированных значениях  $v$ . Нетрудно, однако, построить функции распределения и самой величины  $u$ . Проинтегрируем выражение (1), но уже по  $v$  при фиксированном  $u$ . Рис. 3, а иллюстрирует вероятность встретить молекулу с заданной асимметрией нагрузки безотносительно к средней величине нагрузки. Видно, что вероятность  $P(u)$  практически не зависит от температуры. Причина проста: пределы изменения асимметрии определяются в первую очередь шириной исходного распределения  $P(v, T)$ , которая в отличие от формы остается почти неизменной. Здесь уместно отметить, что хотя максимум плотности вероятности приходится на симметричные молекулы с  $v_{OH}^{(1)} = v_{OH}^{(2)}$ , большинство молекул и среднестатистическая молекула асимметричны.



Чтобы найти зависимость средней частоты колебаний двух групп OH от величины их полуразности, проведем интегрирование выражения (1), умноженного на  $v$ , по  $v$  при фиксированном  $\nu$  (см. рис. 3, б). Особый интерес этот рисунок представляет тем, что демонстрирует энергетическую "невыгодность" молекуле в жидкости быть симметричной при положительных температурах. Средняя частота OH-колебаний у симметричных ( $\nu = 0$ ) молекул выше, т.е. средняя энергия образуемых ею H-связей меньше, чем у "искаженных" соседей. Кривая, рассчитанная для 4 и 5 °C, демонстрирует наиболее длинный горизонтальный участок с ординатой 3448 см<sup>-1</sup>, а для -40 °C (кривая I) — уже достаточно глубокий минимум при  $v_{OH}^{(1)} = v_{OH}^{(2)}$ . Выгодность перехода к симметричной геометрии молекул при отрицательных температурах, т.е. к структуре кристалла, отражает, на наш взгляд, метастабильность переохлажденной воды. Знаменательно, что следующая из расчетов температура, при которой хаотическая сетка H-связей жидкости стремится упорядочиться, соответствует максимуму плотности воды и почти совпадает с истинной температурой кристаллизации 0 °C.

## 2. РАВНОВЕСНАЯ ГЕОМЕТРИЯ МОЛЕКУЛ H<sub>2</sub>O В ЖИДКОСТИ

Упомянутая выше корреляция частоты колебаний группы OH с энергией, возмущающей ее H-связь, очевидно, является вторичной: эта частота определяется константой жесткости  $k_{OH}$ , которая в первую очередь определяет длину  $r_{OH}$  химической связи O—H. Попытки установить взаимосвязь между  $v_{OH}$  и  $r_{OH}$  предпринимались уже давно [13], но особого успеха не имели. В [14] было отмечено, что согласно нейтронографическим данным длина связи OD в протонно-упорядоченной структуре дейтерированного льда IX заметно больше, чем в газе, а частота OD-колебаний — существенно ниже. Приведенный там угол наклона  $\Delta\nu$  ( $\Delta r$ ), равный -10920 см<sup>-1</sup>/Å, находится в удовлетворительном согласии с данными последних лет [15], где при анализе геометрии и спектров молекул воды во многих кристаллогидратах была установлена практически линейная зависимость между низкочастотным сдвигом полосы поглощения и увеличением длины связи OD:

$$\Delta r_{OD}(\text{pm}) = -1,444 \cdot 10^{-2} \Delta\nu_{OD}(\text{cm}^{-1}),$$

что дает  $\Delta\nu_{OD}(\text{cm}^{-1}) = -6925 \Delta r_{OD}(\text{\AA})$ . Несколько раньше линейный характер этой зависимости был предсказан квантовохимически на основе *ab initio* расчетов 22 начальных конфигураций пентамера воды, полученных из расчетов Монте-Карло [16]. Частоты колебаний при этом находили решением уравнения Шредингера для каждой из предварительно вычисленных потенциальных кривых.

С учетом эффекта дейтерирования (коэффициент для отношения частот  $v_{OH}/v_{OD} = 1,36$ ) связь между  $v_{OH}$  и  $r_{OH}$ , следующая из [15], примет вид:

$$v_{OH} = 3707 \text{ cm}^{-1} - 9418(r_{OH} - r_b). \quad (2)$$

Это соотношение позволяет пересчитать распределения частот  $P(v_{OH}, T)$  в распределении длин связей  $P(r_{OH}, T)$  (рис. 4) ( $r_b$  в формуле (2) положено равным 0,93 Å, см. раздел 4). Ввиду линейности корреляции (2) с отрицательным знаком, полученные контуры по форме повторяют инвертированные слева направо распределения частот  $P(v_{OH})$  с их уже упоминавшейся бимодальностью.

Диапазон вариации равновесной длины связей OH в ансамбле молекул воды не столь велик: от 0,95 до 1,03 Å. Однако речь идет о длине химической связи, которая очень слабо меняется даже при переходе от соединения к соединению в гомологических рядах и измеряется современными методами с точностью до 3 знаков. Поэтому вариация порядка 8 % является вполне значительной. В частности, ширина первого максимума экспериментальной функции радиального распределения

Рис. 4. Кривые вероятности встретить гидроксильную группу молекулы воды с заданной равновесной длиной. Кривые 1—4: температура от -40 до +90 °C, см. рис. 2

ления (ФРР) ( $r_{OH}$ ), центрированного вблизи 0,980 Å, составляет от 0,1 до 0,2 Å [17]. С учетом динамических эффектов (колебания протонов), конечности аппаратурной функции и возможного уширения в процессе преобразования Фурье это не противоречит вычисленной нами флюктуационной дисперсии равновесных длин OH-связи 0,073 Å.

Далее с вычисленными распределениями  $P(r_{OH}, T)$  (см. рис. 4) можно повторить все те операции, которые в разделе I проделаны с распределениями частот  $P(v_{OH}, T)$ . В частности, рис. 5 изображает бинарное распределение средних длин и полуразности длин OH-связей молекул H<sub>2</sub>O при 50 °C, аналогичное по смыслу выражению (1). Опуская для краткости аналоги рис. 1—3, приведем взамен этого суммарную зависимость от температуры основных параметров "среднестатистической" молекулы H<sub>2</sub>O: средней длины OH-связей (рис. 6, а) и среднего модуля их полуразности (рис. 6, б). Первая величина с ростом температуры монотонно уменьшается от 0,990 до 0,978 Å, вторая имеет максимум 0,0138 Å вблизи 32 °C. Между прочим, это означает, что в области существования живых организмов геометрия молекул воды в них максимально асимметрична.

Приведенная на рис. 6 температурная зависимость средних характеристик равновесной конфигурации молекулы воды демонстрирует сравнительно малый масштаб их изменения. В разделе 5 мы покажем, что учет этой зависимости и асимметрии молекул тем не менее приводит к вполне наблюдаемым эффектам и принципиальным изменениям в интерпретации спектров чистых (не изотопно-разбавленных) водных растворов.

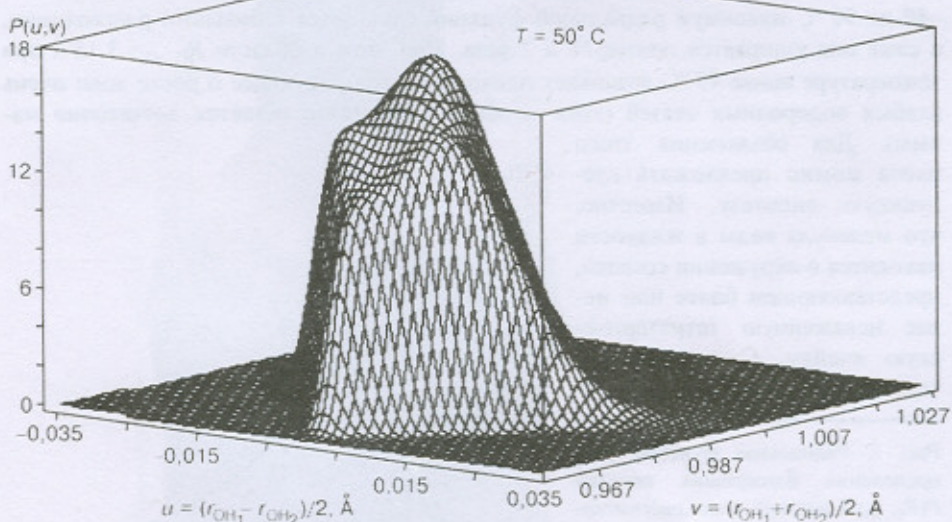
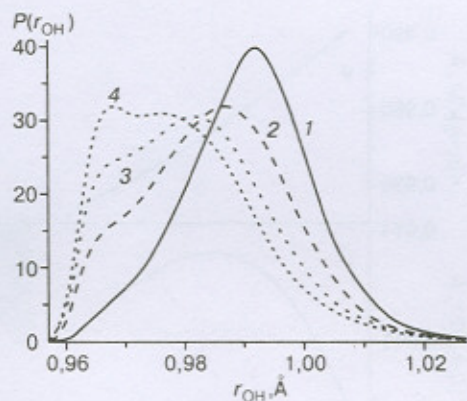


Рис. 5. Функция распределения полусуммы и полуразности равновесных длин двух гидроксильных групп молекулы H<sub>2</sub>O при 50 °C

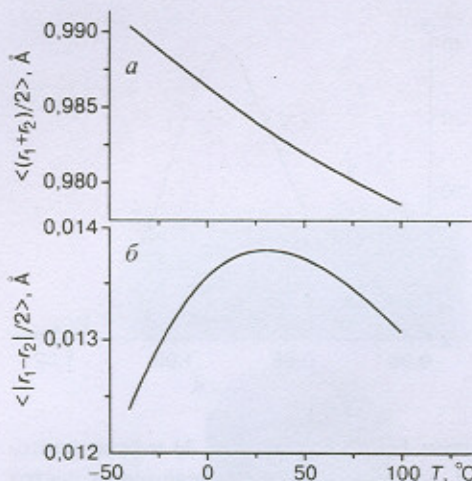


Рис. 6. Температурная зависимость средней длины (*a*) и полуразности (*b*) длин двух OH-групп "среднестатистической" молекулы H<sub>2</sub>O

ленных) H<sub>2</sub>O и D<sub>2</sub>O. Полученные в этом разделе зависимости могут оказаться полезными также для тестирования "мягких" потенциалов, используемых при молекулярно-динамических расчетах воды и ее растворов.

### 3. ФУНКЦИЯ РАДИАЛЬНОГО РАСПРЕДЕЛЕНИЯ БЛИЖАЙШИХ СОСЕДЕЙ

По данным многих авторов, наряду с корреляцией между v<sub>OH</sub> и r<sub>OH</sub>

типа (2) существует и менее строгая корреляция между частотой v<sub>OH</sub> и длиной водородного мостика R<sub>O...O</sub>. Причиной большего разброса экспериментальных точек в этом случае является зависимость частоты v<sub>OH</sub> (и энергии водородной связи) не только от длины H-связи, но и от ее изгиба (отклонения от линейности). Тем не менее использование корреляции v<sub>OH</sub> (R<sub>O...O</sub>) для оценки межмолекулярных расстояний из спектроскопических данных уже давно стало рутинной операцией. С такой же степенью достоверности это позволяет пересчитать частотные распределения P(v<sub>OH</sub>, T) из [7] для реконструкции соответствующих функций радиального распределения

$$P(R_{O...O}) = P[v_{OH}(R_{O...O})]dV_{OH}/dR_{O...O}. \quad (3)$$

В качестве функциональной зависимости между v<sub>OH</sub> и R<sub>O...O</sub> используем выражение, полученное в [18] на основе анализа структурных и спектроскопических данных:

$$v_{OH} = 3707 \text{ см}^{-1} - 2,222 \cdot 10^7 \exp(-3,925 R_{O...O} (\text{\AA})). \quad (4)$$

Результаты изображены на рис. 7. Видно, что с повышением температуры от -40 до 90 °C максимум радиальной функции сдвигается к большим расстояниям, а сама она уширяется примерно в 2 раза. При этом в области R<sub>O...O</sub> = 3,15 Å при температуре выше 45 °C возникает плечо, свидетельствующее о росте доли очень слабых водородных связей (хотя их общее количество остается достаточно малым).

Для объяснения этого

плеча можно предложить следующую гипотезу. Известно, что молекула воды в жидкости находится в окружении соседей, представляющим более или менее искаженную тетраэдрическую ячейку. С повышением температуры средний размер

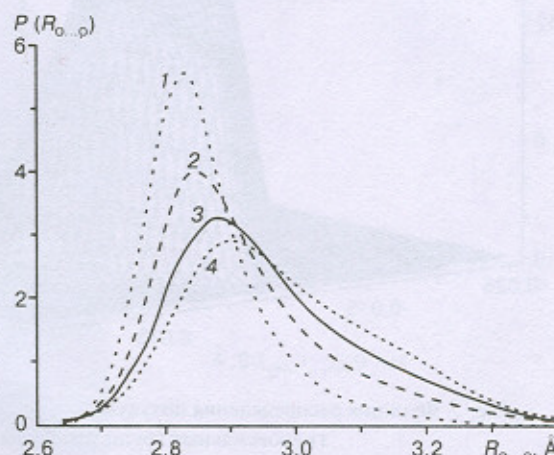


Рис. 7. Радиальная функция распределения ближайших соседей P(R<sub>O...O</sub>) в жидкой воде, рассчитанная по формуле (3) из колебательных спектров.

T, °C: -40 (1), +10 (2), +50 (3), +90 (4)

Рис. 8. Температурная зависимость полу-  
суммы (а) и полуразности (б) межмолекулярных расстояний в жидкой воде

такой ячейки растет (рис. 8, а). Растет и разность длин двух Н-связей (см. рис. 8, б). При этом неизбежно возникают и ячейки, характерный размер которых превышает средний. Ввиду нелинейной зависимости глубины потенциальной кривой водородной связи от ее длины [19] при некотором предельном размере ячейки центральной молекуле более выгодным становится сместиться, "прилипнуть" к одному из соседей, образовав вместо двух слабых одну оптимальную по геометрии (сильную) водородную связь, а вторую — гораздо более слабую. Последние и дают вклад вблизи 3,15 Å.

Данные, изображенные на рис. 7 и 8, как и предыдущие, могут быть полезны для тестирования модельных потенциалов, причем, в отличие от них, не только мягких с учетом внутримолекулярных степеней свободы молекул воды, но и жестких.

#### 4. ВЗАИМОЗАВИСИМОСТЬ ДЛИН ВНУТРИМОЛЕКУЛЯРНЫХ И МЕЖМОЛЕКУЛЯРНЫХ СВЯЗЕЙ

Заданная формулами (2) и (4) зависимость  $v_{OH}$  от  $r_{OH}$  и  $R_{O...O}$  позволяет выразить длину химической (ковалентной) связи  $r_{OH}$  через длину водородного мостика  $R_{O...O}$ :

$$r_{OH} = r_n + 2359,3 \exp(-3,925R_{O...O}). \quad (5)$$

Если пренебречь изгибом водородного мостика и считать, что

$$r_{H...O} = R_{O...O} - r_{OH}, \quad (5a)$$

то можно построить зависимость обеих ветвей межатомных расстояний кислорода и водорода ( $r_{OH}$  и  $r_{H...O}$ ) от  $R_{O...O}$ . Рис. 9 демонстрирует удивительно хорошее согласие наших расчетов с недавно опубликованной коллекцией данных по рассеянию нейтронов [20], если принять  $r_n = 0,93$  Å. Это значение несколько меньше

длины OH-связи молекулы воды в газе (0,957 Å), что может быть вызвано влиянием внутреннего поля в конденсированной фазе [21]. Формулы (5) и (5a) не только количественно описывают усредненное поведение экспериментальных точек на обеих ветвях

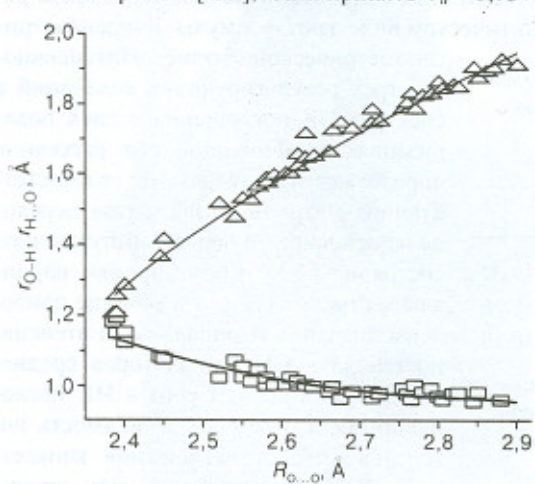
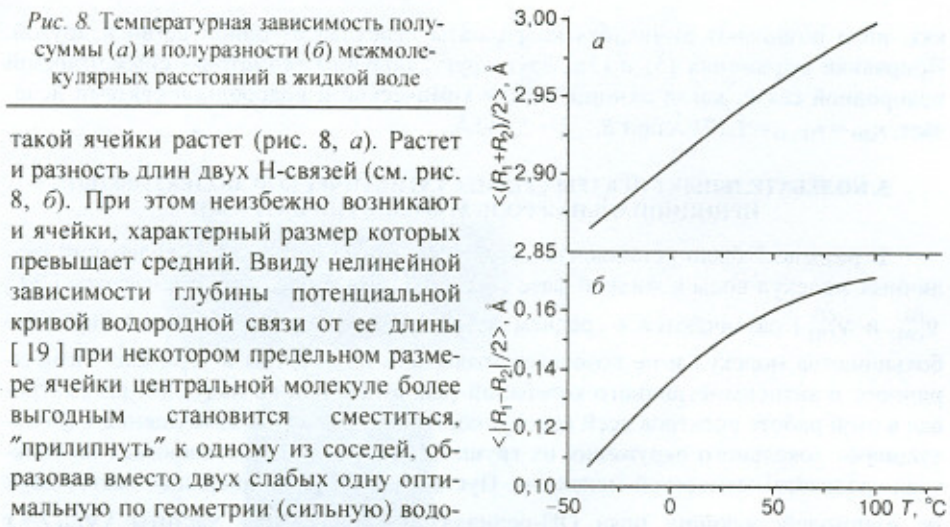


Рис. 9. Зависимость длин химической (нижняя ветвь) и водородной (верхняя ветвь) связей от длины водородного мостика. Кривые — расчет по формулам (5) и (5a), значения — нейтронографические данные для "обычных" водородных связей из [20]

вях, но и позволяют вычислить координаты перехода от одной ветви к другой. Приравняв выражения (5) и (5a) друг другу, получим геометрию симметричной водородной связи: когда разница между химической и водородной связями исчезает,  $r_{\text{ОН}} = r_{\text{Н...О}} = 1,171 \text{ \AA}$  при  $R_{\text{О...О}} = 2,342 \text{ \AA}$ .

## 5. КОЛЕБАТЕЛЬНЫЕ СПЕКТРЫ СРЕДНЕСТАТИСТИЧЕСКОЙ МОЛЕКУЛЫ Н<sub>2</sub>O: ПРИНЦИПИАЛЬНАЯ РОЛЬ АСИММЕТРИИ НАГРУЗКИ

В разделе I было установлено, что собственные частоты OH-колебаний различных молекул воды в жидкой фазе (так называемые парциальные частоты [22]  $v_{\text{ОН}}^{(1)}$  и  $v_{\text{ОН}}^{(2)}$ ) различаются в среднем на 50—150 см<sup>-1</sup>. Это нарушает симметрию большинства молекул и не позволяет трактовать их спектры в терминах симметричного и антисимметричного колебаний (как в газе или во льду). Не рассматривая в этой работе спектров всей совокупности молекул воды, возмущенных флюктуациями локального окружения их групп OH (см. рис. 1), остановимся на спектрах среднестатистической молекулы. Пусть в качестве парциальных частот двух не взаимодействующих пока OH-осцилляторов она имеет частоты  $\langle v_{\text{ОН}}^{(1)} \rangle = x$  и  $\langle v_{\text{ОН}}^{(2)} \rangle = y$ , найденные для каждой температуры путем интегрирования выражения (1), умноженного на  $v$  или  $|u|$ , по  $v$  и  $u$  (см. таблицу). В эту же область частот попадает обертон деформационного колебания с парциальной частотой  $v_{\text{деф}} = z$ , вступающий в резонанс Ферми с валентными колебаниями. В работе Фалька [23] показано, что в среднем она антикоррелирует с парциальными частотами  $x$  и  $y$  по формуле

$$z = 2[1590,6 + 0,2583(3706 - (x + y)/2)] \text{ см}^{-1}, \quad (6)$$

(что также отражено в таблице). В результате внутримолекулярной связи этих трех колебаний возникают три новые частоты  $v_i$  ( $i = 1, 2, 3$ ), являющиеся собственными значениями матрицы  $H$  [22]:

$$H = \begin{pmatrix} x & V & W \\ V & y & W \\ W & W & z \end{pmatrix}. \quad (7)$$

Эти значения являются корнями кубического уравнения

$$\text{Det}(H - Ev_i) = 0, \quad (8)$$

где  $E$  — единичная матрица. При данном виде гамильтониана действительное решение в относительно простом аналитическом виде дают формулы Кардана в тригонометрической форме. Интенсивности трех результирующих колебаний в спектрах ИК поглощения и двух поляризациях комбинационного рассеяния определяются квадратами соответствующих матричных элементов перехода из основного в первое возбужденное состояние [22]. Кроме тройки парциальных частот ( $x, y, z$ ) в таблице приведены значения парциальных интенсивностей двух OH-осцилляторов среднестатистической молекулы в ИК поглощении. Они отражают зависимость интенсивности ИК поглощения конкретным OH-осциллятором от силы возму-

*Параметры "среднестатистической" молекулы Н<sub>2</sub>O в жидкости при различных температурах, вычисленные из колебательных спектров*

T, °C	x, см <sup>-1</sup>	y, см <sup>-1</sup>	z, см <sup>-1</sup>	I <sub>x</sub> <sup>ИК</sup>	I <sub>y</sub> <sup>ИК</sup>
-40	3338,7	3454,1	3341,6	29,01	19,07
0	3371,0	3497,3	3322,2	26,23	15,35
90	3433,8	3552,5	3291,7	20,82	10,59

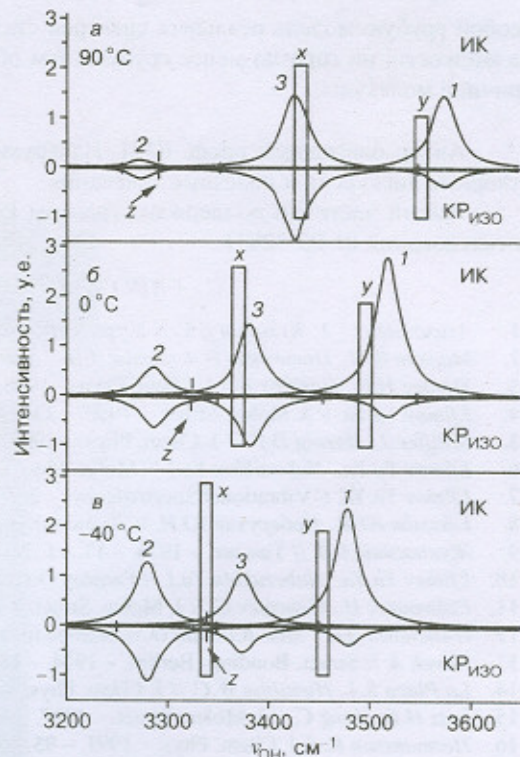
Примечание:  $x, y, z$  — парциальные частоты двух валентных осцилляторов и обертона деформационного колебания соответственно.  $I_z^{\text{ИК}}$  положено равным нулю.

Рис. 10. Спектры ИК-поглощения и изотропной составляющей КР, рассчитанные для "среднестатистической" молекулы H<sub>2</sub>O при 90 °C (а), 0 °C (б) и -40 °C (в). Прямоугольники соответствуют парциальным частотам ( $x$  и  $y$ ) и интенсивностям ( $I_x$  и  $I_y$ ) двух OH-групп до их взаимодействия (см. таблицу), штрихов  $z$  — частота обертона деформационного колебания с нулевой собственной интенсивностью. Контуры 1—3 — результат учета внутримолекулярной связи колебаний

щающей его H-связи и рассчитаны из частот ( $x$ ,  $y$ ) согласно данным работы [24]. Парциальные интенсивности в комбинационном рассеянии считаются не зависящими от частоты (энергии водородной связи).

Результаты расчета при  $V = -55 \text{ см}^{-1}$  и  $W = 36 \text{ см}^{-1}$  [22] приведены на рис. 10. Для наглядности рассчитанные  $\delta$ -функции заменены лоренцевыми контурами с полушириной  $35 \text{ см}^{-1}$ , характерными для собственных (однородно уширенных) полос индивидуальных OH-осцилляторов воды [7]. Парциальные интенсивности OH-осцилляторов изображены прямоугольниками, парциальная (собственная) интенсивность деформационного обертона на частоте  $z$  (штриховая линия) принята равной нулю.

Первым нетривиальным результатом расчетов является то, что частоты синфазного (волновые функции двух OH-групп входят с одним знаком, контуры 3) и антифазного (они входят с противоположными знаками, контуры 1) колебаний расщеплены на гораздо большую величину, чем было бы для симметричной молекулы. Это объясняет существенно большую ширину спектров H<sub>2</sub>O по сравнению с HOD, где внутримолекулярная связь колебаний практически отсутствует. Вторым важным следствием асимметрии молекул H<sub>2</sub>O в жидкости является неожиданно большая интенсивность Ферми-дублета (контуры 2 и 3) в ИК поглощении, вызванная неравенством парциальных интенсивностей  $I_x$  и  $I_y$  (см. таблицу). Для симметричной молекулы выполнялось бы равенство  $(I_x + I_y)/I_1 = \operatorname{ctg}^2(104,5^\circ/2) = 0,6$  [22], что слишком мало, чтобы описать экспериментальное поглощение в низкочастотной области. При этом контур 2, возникающий вследствие резонанса Ферми, при низких температурах превалирует как в расчете, так и в экспериментальных спектрах изотропного рассеяния. Это является следствием перекачки в него интенсивности двух OH-колебаний асимметричной молекулы H<sub>2</sub>O, а не одного симметричного колебания, как было бы в случае симметричной молекулы. Наконец, наиболее ярким (и принципиальным) отличием рис. 10 от спектров симметричной молекулы H<sub>2</sub>O является наличие контура антифазных колебаний (контуры 1) в изотропной компоненте комбинационного рассеяния. Этот контур объясняет высокочастотное крыло экспериментальных спектров (особенно при высоких температурах). Для симметричной молекулы его интенсивность равнялась бы строго нулю в силу правила запрета по симметрии. Разумеется, рис. 10 представляет



собой грубую модель реальных спектров статистического ансамбля молекул  $\text{H}_2\text{O}$  в жидкости, но гораздо менее грубую, чем обычно используемый спектр симметричной молекулы.

Автор благодарен проф. Ю.И. Наберухину и д.х.н. Н.Л. Лаврику за плодотворные дискуссии и полезные замечания.

Работа частично поддержана грантом Российского фонда фундаментальных исследований 01-03-32811.

#### СПИСОК ЛИТЕРАТУРЫ

1. Алиханиди С.Э., Кузьмин В.Е. // Журн. структур. химии. – 1998. – **39**. – С. 547 – 552.
2. Марков В.М., Потемкин В.А., Белик А.В. // Там же. – С. 500 – 506.
3. Stanley H.E., Teixeira J. // J. Chem. Phys. – 1980. – **73**. – Р. 3404 – 3422.
4. Efimov Yu.Ya. // J. Molec. Struct. – 1990. – **237**. – Р. 93 – 103.
5. Schiffer J., Hornig D.F. // J. Chem. Phys. – 1968. – **49**. – Р. 4150 – 4160.
6. Efimov Yu.Ya., Naberukhin Yu.I. // Molec. Phys. – 1975. – **30**. – Р. 1627 – 1633.
7. Efimov Yu.Ya. // Vibrational Spectroscopy. – 2000. – **23**. – Р. 57 – 69.
8. Ефимов Ю.Я., Наберухин Ю.И. // Журн. структур. химии. – 2000. – **41**. – С. 532 – 539.
9. Жуковский А.П. // Там же. – 1976. – **17**. – С. 931 – 932.
10. Efimov Yu.Ya., Naberukhin Yu.I. // Faraday Discuss. Chem. Soc. – 1988. – **85**. – Р. 117 – 123.
11. Palamarev H., Georgiev G. // J. Molec. Struct. – 1996. – **378**. – Р. 237 – 248.
12. Пиментел Дж., Мак-Клеллан О. // Водородная связь. – М.: Мир, 1964.
13. Novak A. // Struct. Bonding (Berlin). – 1974. – **18**. – Р. 177 – 216.
14. La Placa S.J., Hamilton W.C. // J. Chem. Phys. – 1973. – **58**. – Р. 567 – 580.
15. Lutz H.D., Jung C. // J. Molec. Struct. – 1997. – **404**. – Р. 63 – 66.
16. Hermansson K. // J. Chem. Phys. – 1991. – **95**. – Р. 7486 – 7496.
17. Postorino P., Ricci M.A., Soper A.K. // Ibid. – 1994. – **101**. – Р. 4123 – 4132.
18. Ефимов Ю.Я. // Журн. структур. химии. – 1991. – **32**. – С. 72 – 80.
19. Sokolov N.D., Vener M.V., Sarelev V.A. // J. Mol. Struct. – 1988. – **177**. – Р. 93 – 109.
20. Борисов Е.В. // Изв. АН. Сер. хим. – 2000. – **4**. – С. 758 – 759.
21. Mirone P. // Spectrochim. Acta. – 1966. – **22**. – Р. 1867 – 1875.
22. Efimov Yu.Ya., Naberukhin Yu.I. // Molec. Phys. – 1978. – **36**. – Р. 973 – 992.
23. Falk M. // Spectrochim. Acta. – 1984. – **40A**. – Р. 43 – 48.
24. Palamarev H., Georgiev G. // Vibrational Spectroscopy. – 1994. – **7**. – Р. 255 – 264.
25. Scherer J.R., Go M.K., Kint S. // J. Phys. Chem. – 1974. – **78**. – Р. 1304 – 1317.